

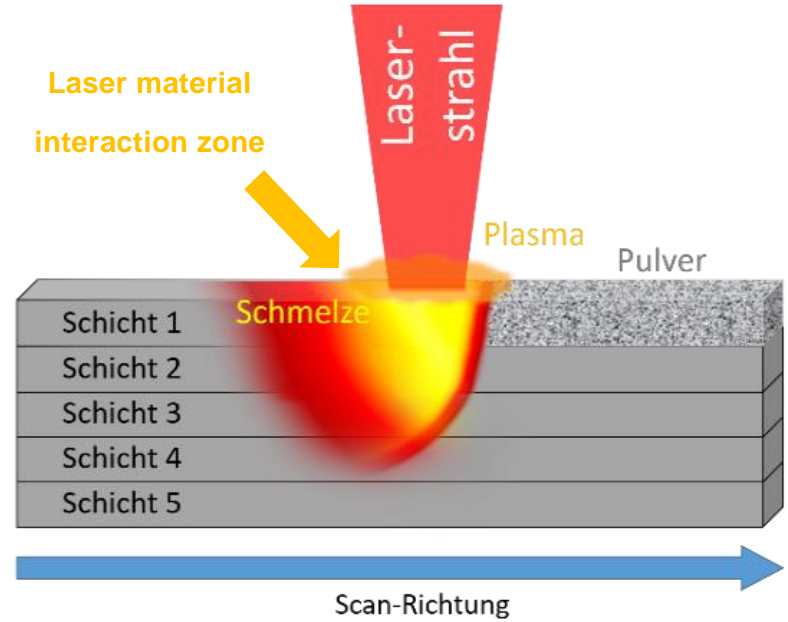
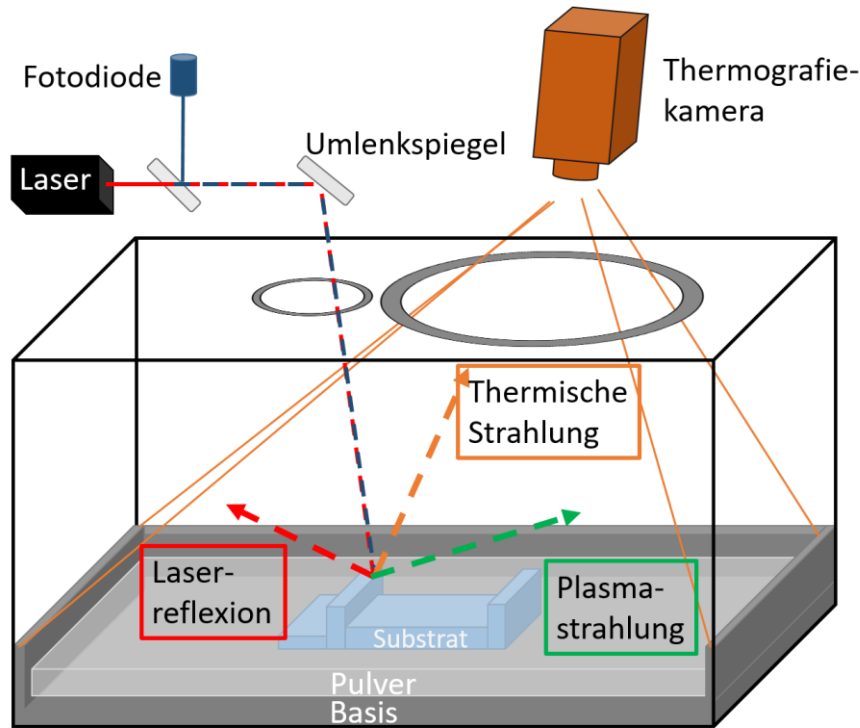
Modellierungen und Anpassungen von LFA-Modellen für die Untersuchung der Vorderseitendynamik

Amir Shandy, Frank Hemberger, Matthias Zipf, Thomas Stark, Jochen Manara,
Jürgen Hartmann
AK Thermophysik, 21.03.2024

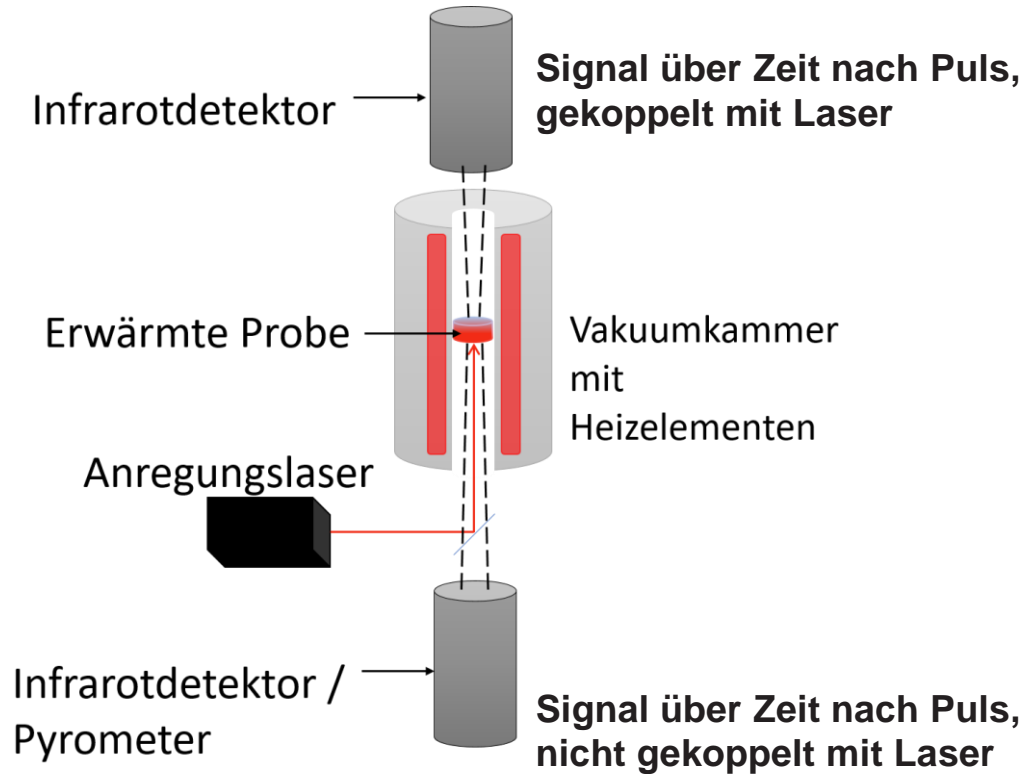
Gliederung

- Motivation
 - Additive Fertigung, Selektives-Laser-Schmelzen (SLS)
- LFA Setup
- Modellfindung Vorderseite
 - Temperaturentwicklung des adiabatischen Modells
- Faltungsmethoden
 - Diskrete Faltung im Frequenzraum
 - Kontinuierliche Faltung im Realraum
- Vergleich der Lösungen
- Fazit

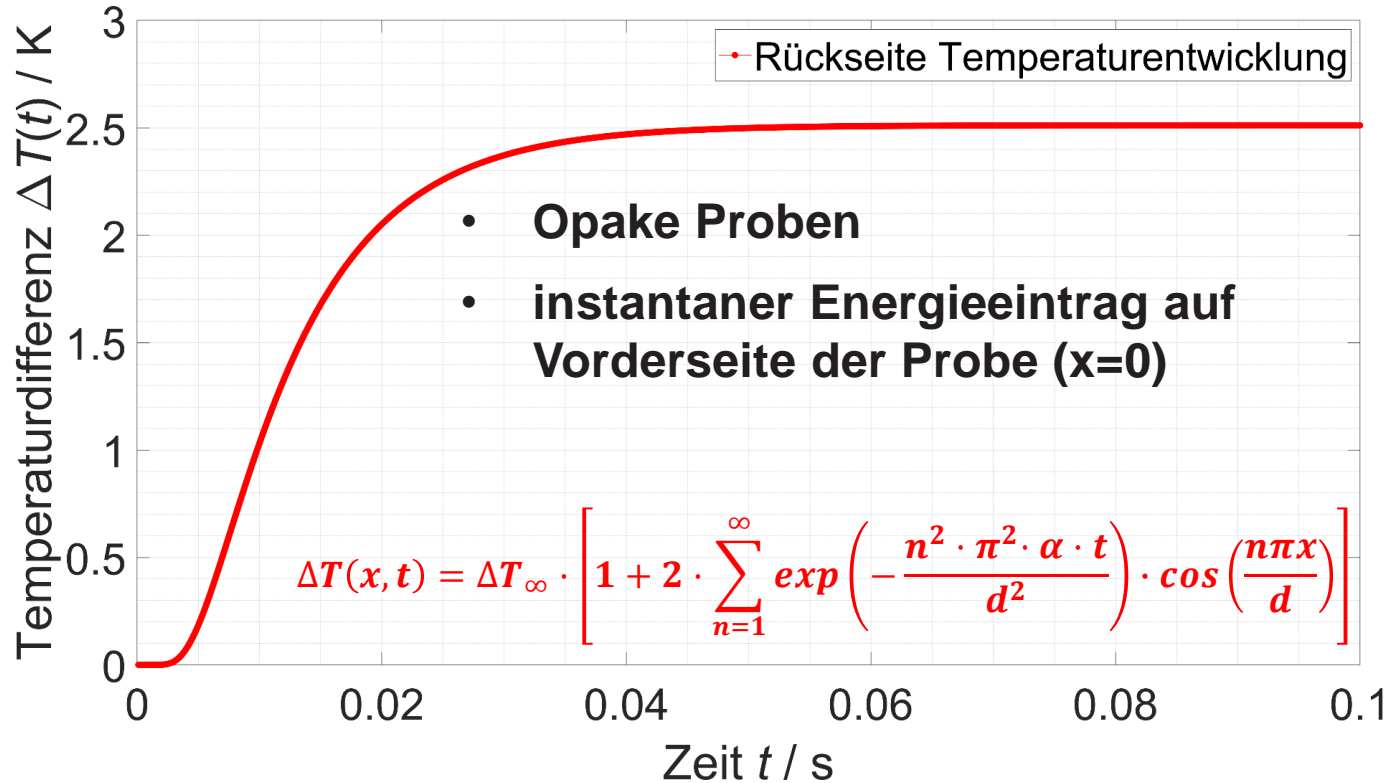
Motivation – Additive Fertigung, SLS



LFA Setup



Adiabatisches Modell

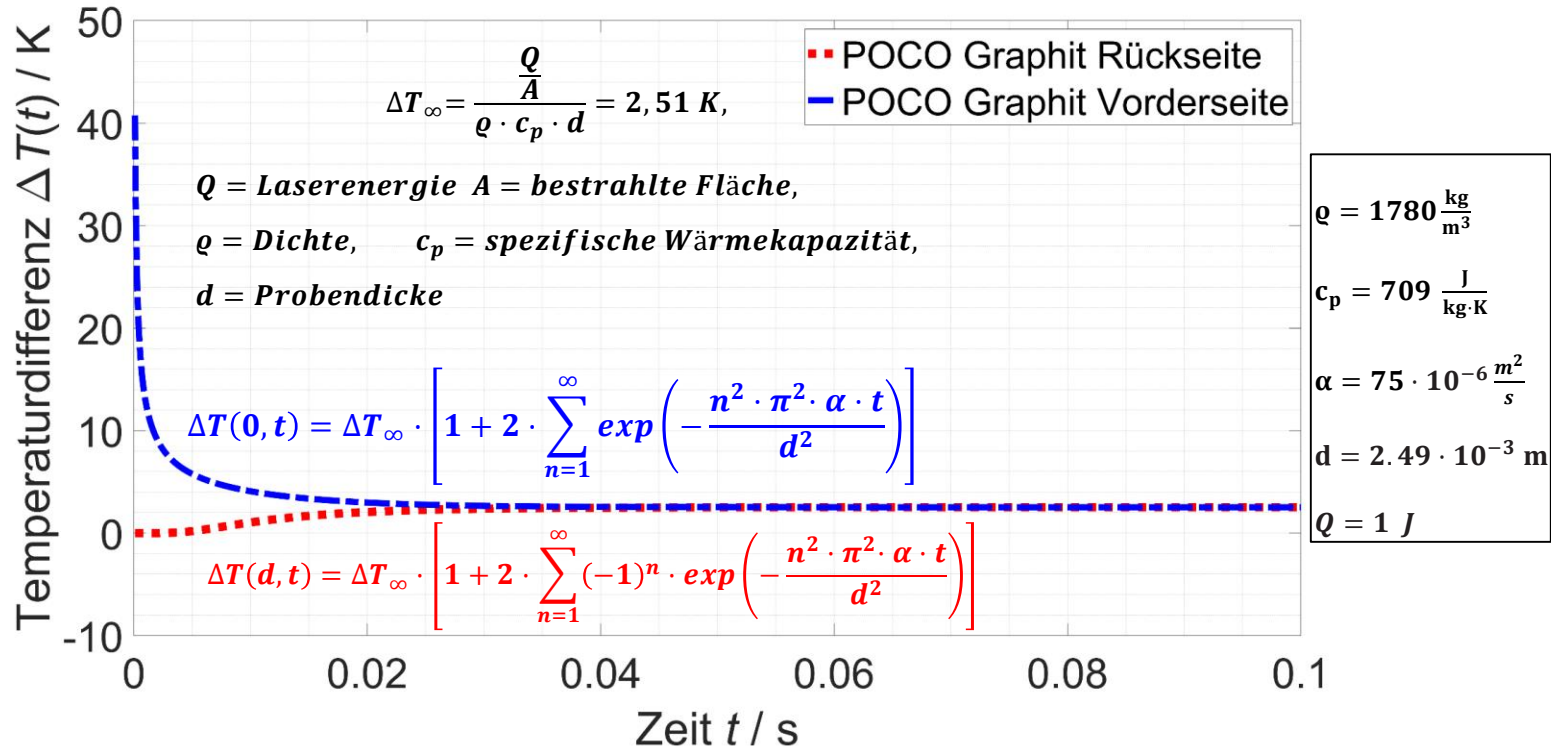


Modellfindung Vorderseite

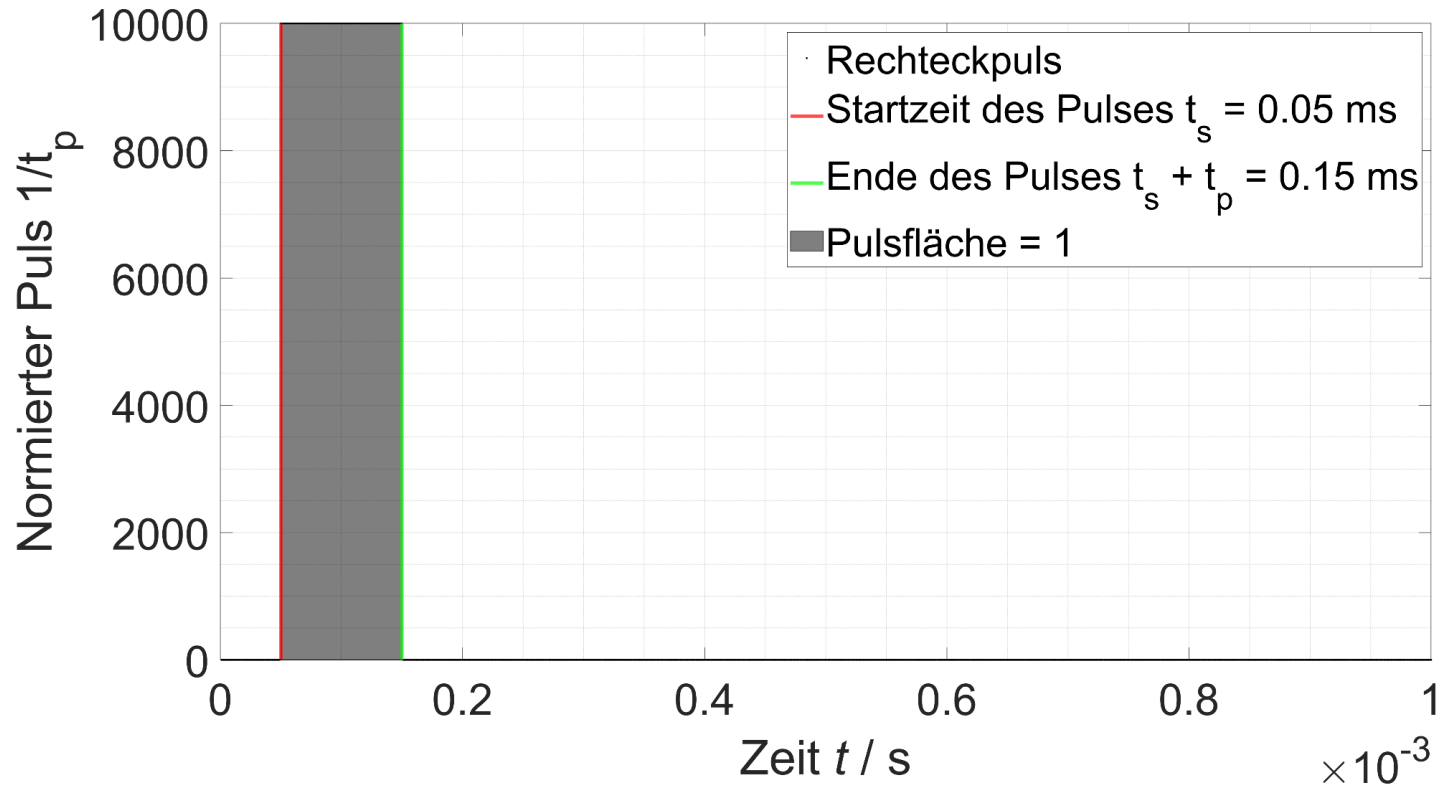
- „Flash Method of Determining Thermal Diffusivity, Heat Capacity and Thermal Conductivity“
W.J. Parker, R.J.Jenkins, C.P. Butler and G.L. Abott,
Journal of Applied Physics, Vol 32, Number 9, September 1961
- Conduction of Heat in Solids (Oxford University Press, New York, 1959), 2nd ed. , p.101
 - Linear Flow of heat in the solid bounded by two parallel planes

$$\Delta T(x, t) = \frac{1}{d} \int_0^d f(x') dx' + \frac{2}{d} \sum_{n=1}^{\infty} \exp\left(-\frac{\alpha n^2 \pi^2 t}{d^2}\right) \cos\left(\frac{n\pi x}{d}\right) \int_0^d f(x') \cos\left(\frac{n\pi x'}{d}\right) dx'$$

Temperaturentwicklung Adiabatisches Modell



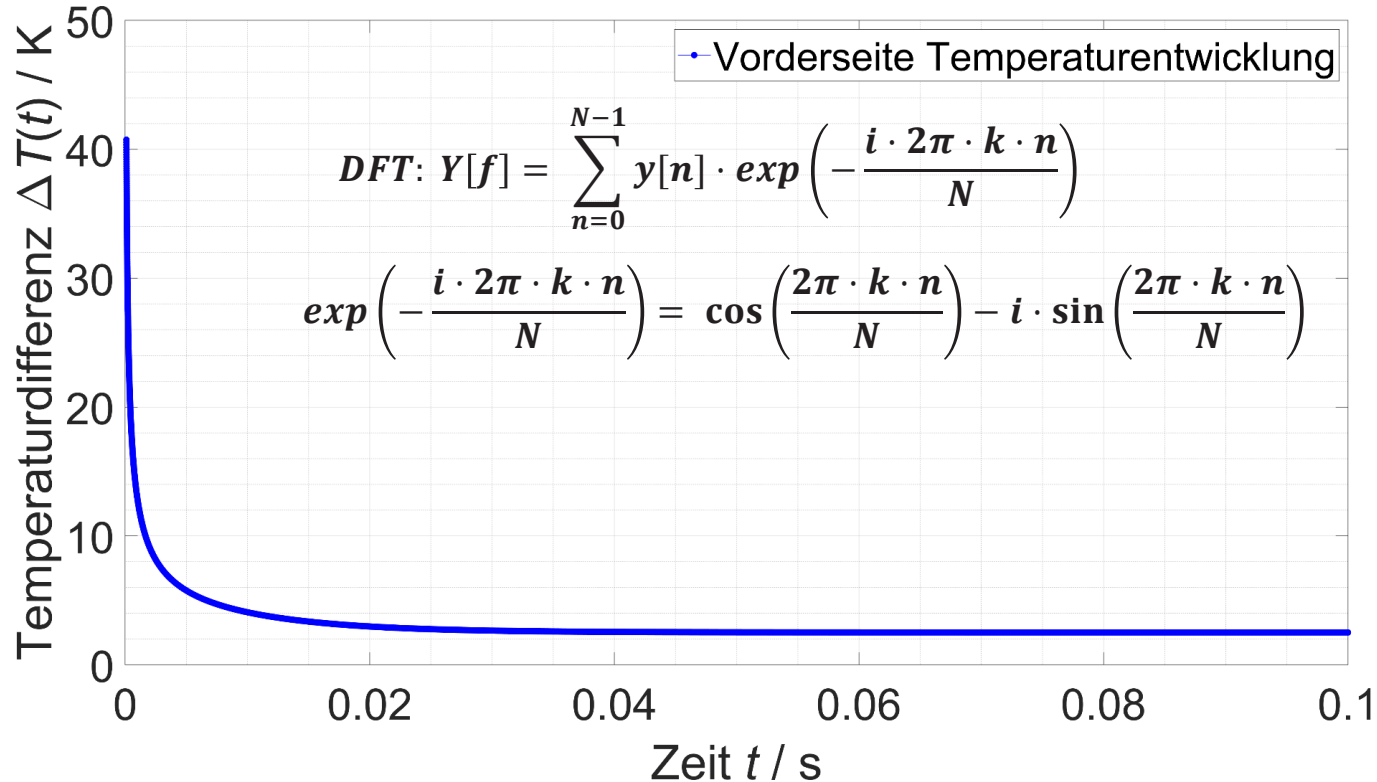
Rechteckpuls



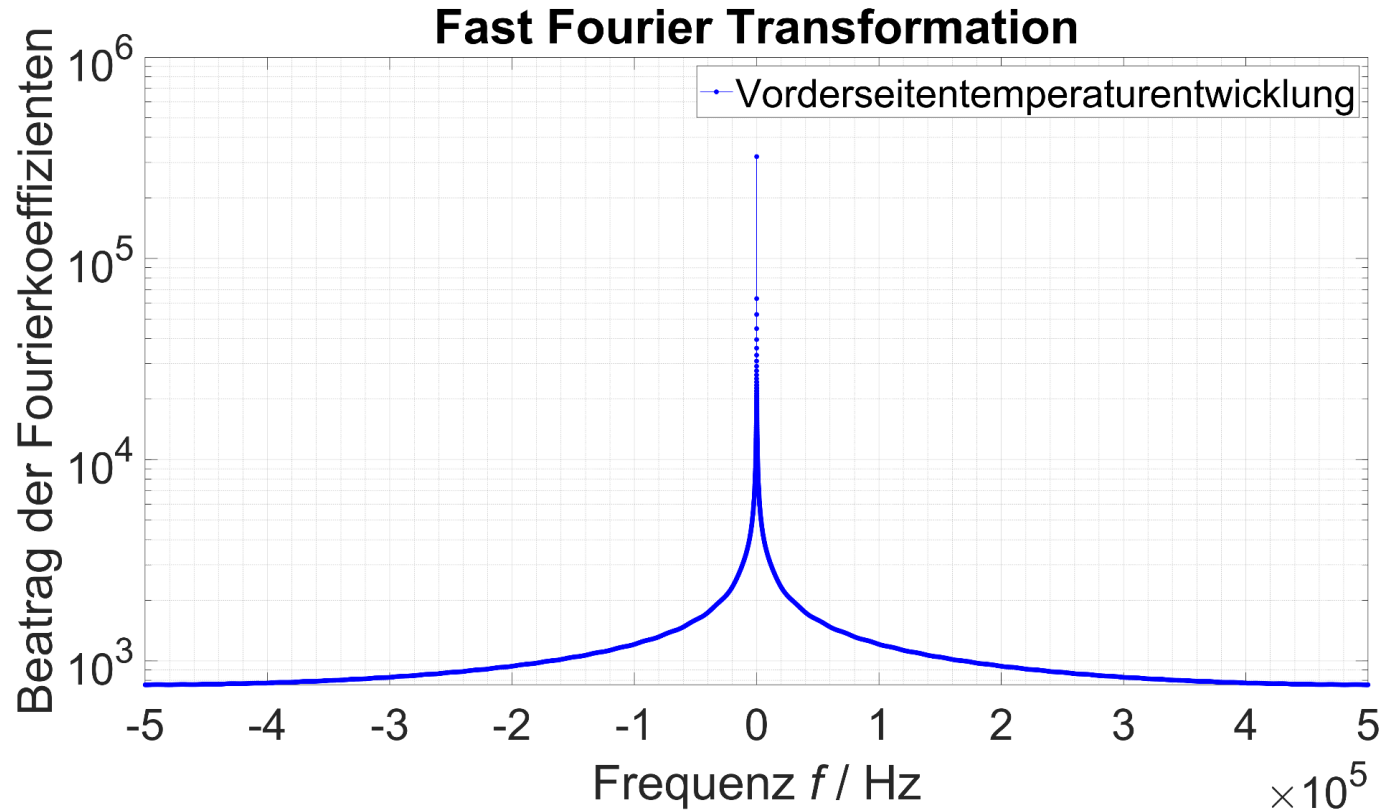
Faltungsmethoden

- Diskrete Faltung im Fourierraum
Punktweise Multiplikation der diskreten Funktionswerte von Puls und Temperaturentwicklung im Frequenzraum
- Kontinuierliche Faltung im Realraum
Lösung des Faltungsintegrals
Definition von Puls und Temperaturentwicklung mathematisch kontinuierlich

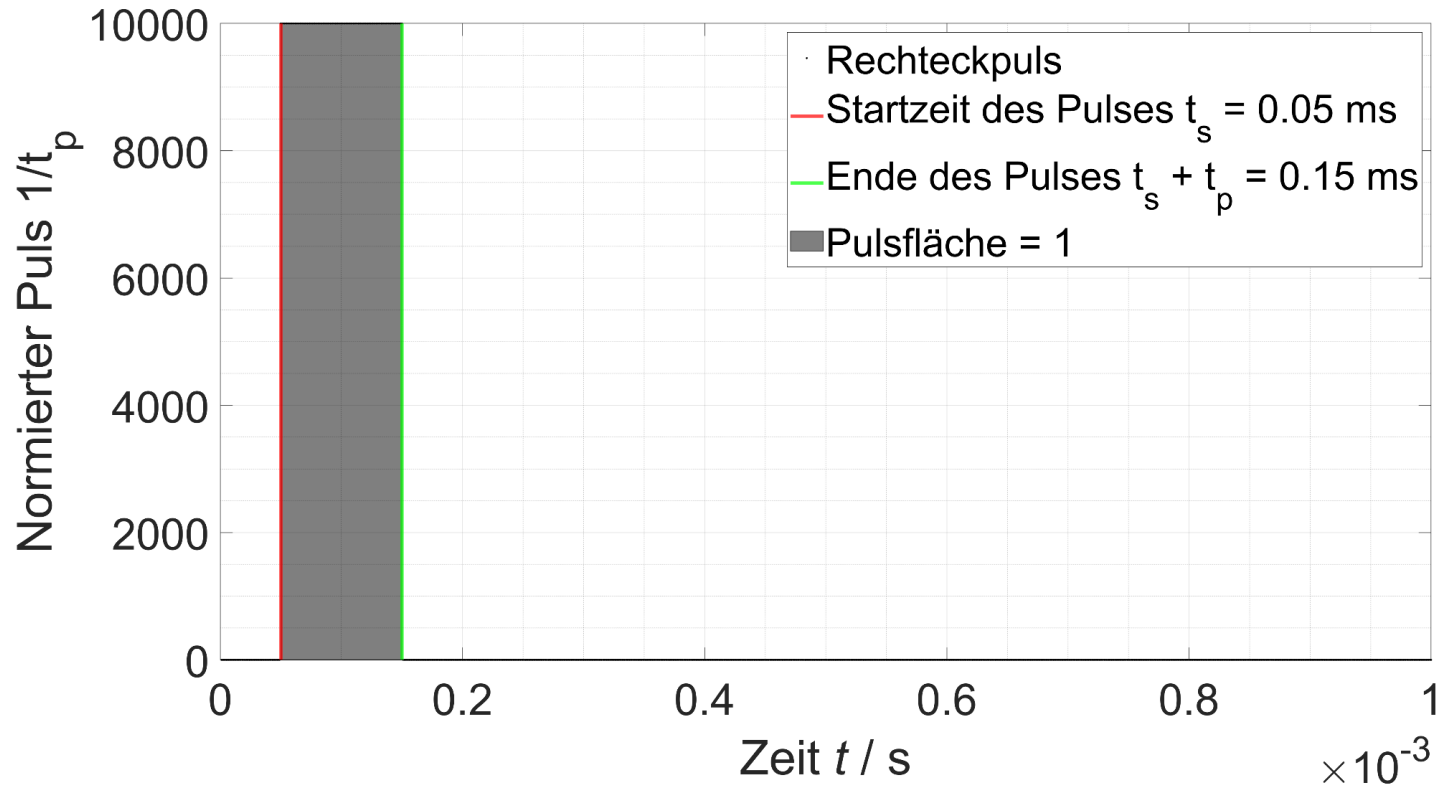
Diskrete Faltung im Frequenzraum



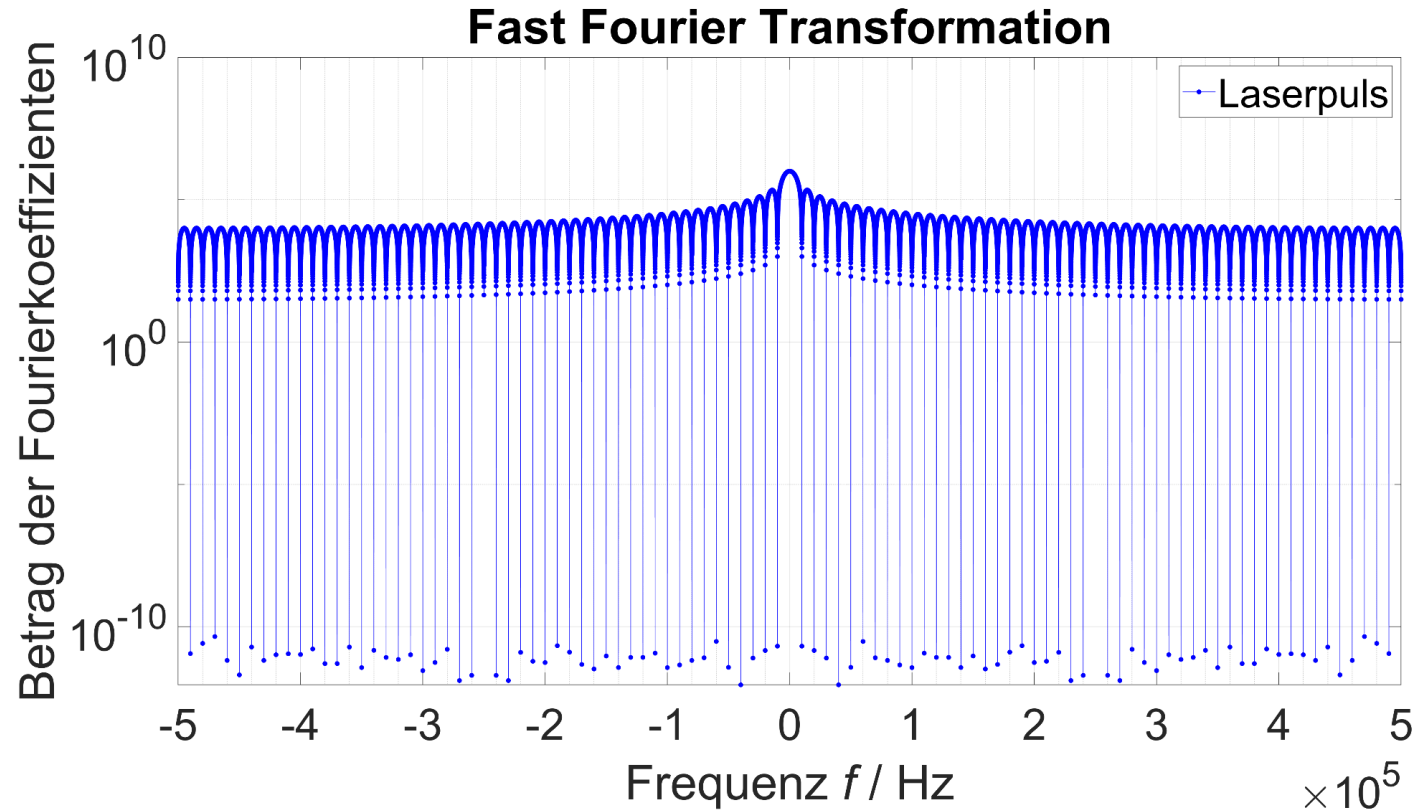
Diskrete Faltung im Frequenzraum



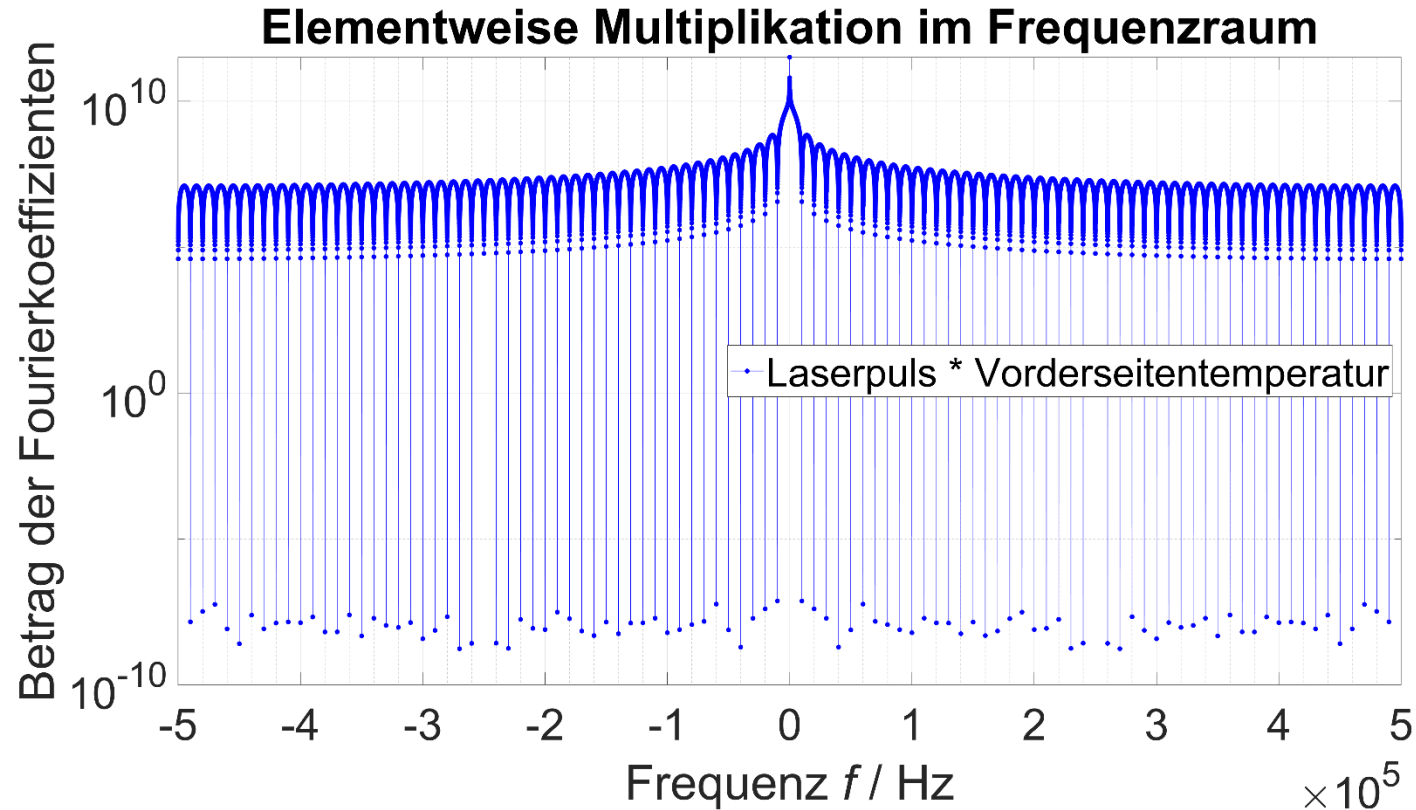
Diskrete Faltung im Frequenzraum



Diskrete Faltung im Frequenzraum

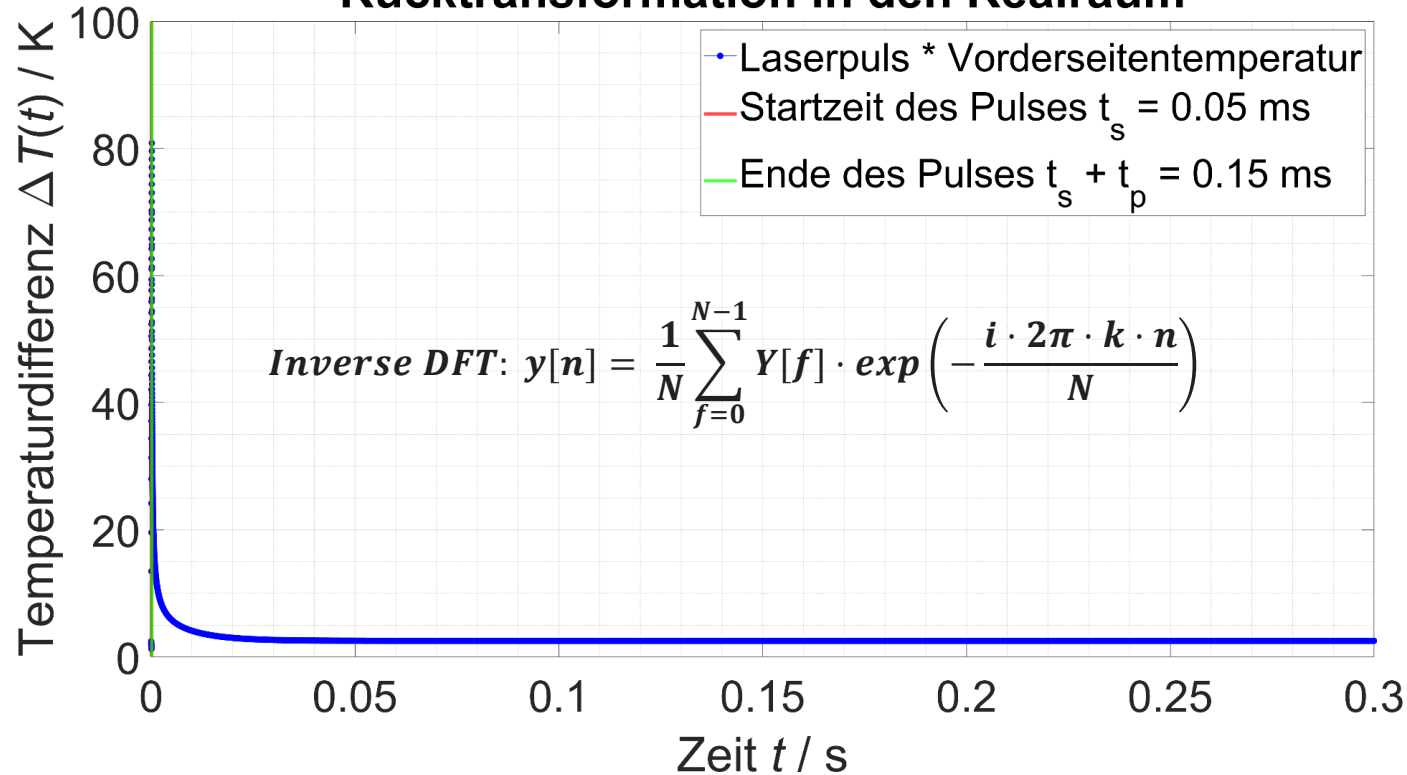


Diskrete Faltung im Frequenzraum

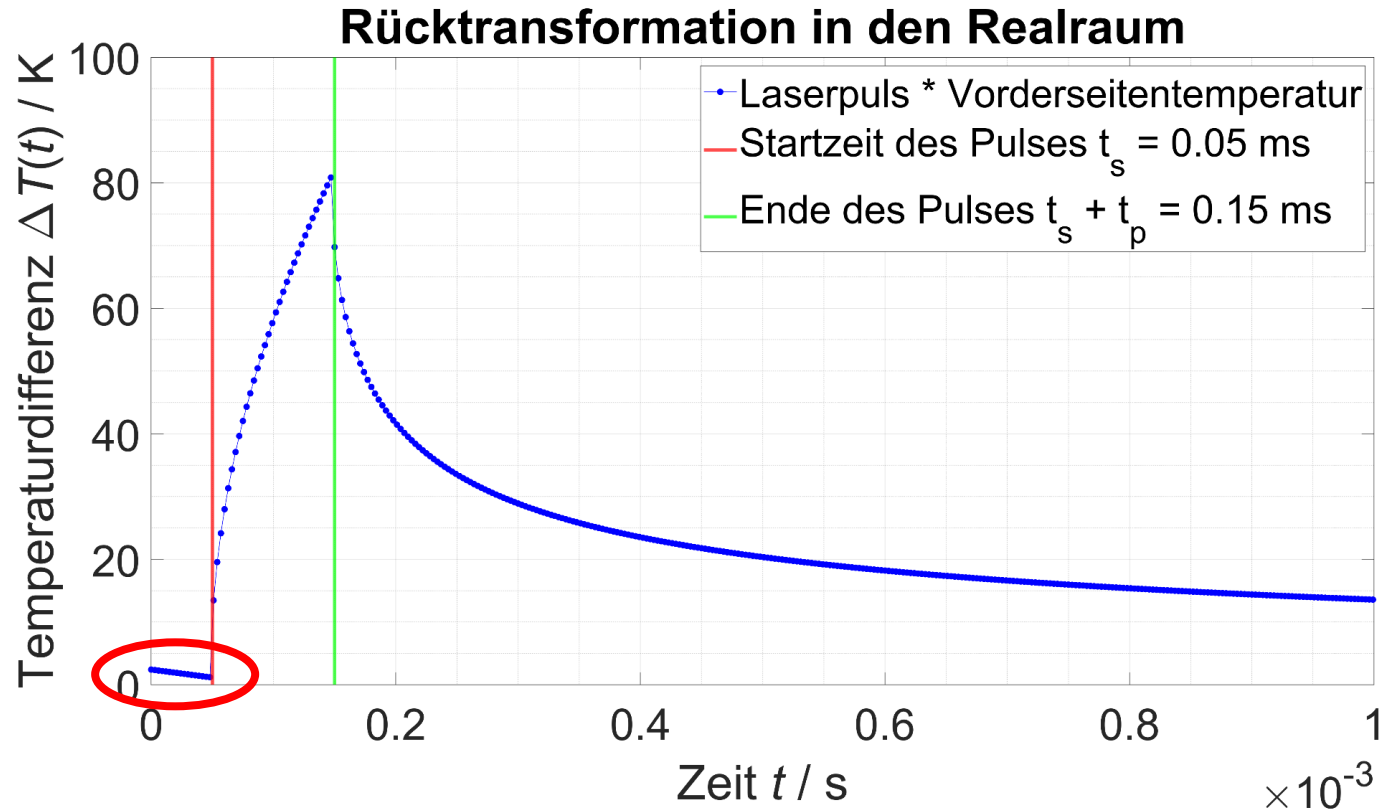


Diskrete Faltung im Frequenzraum

Rücktransformation in den Realraum



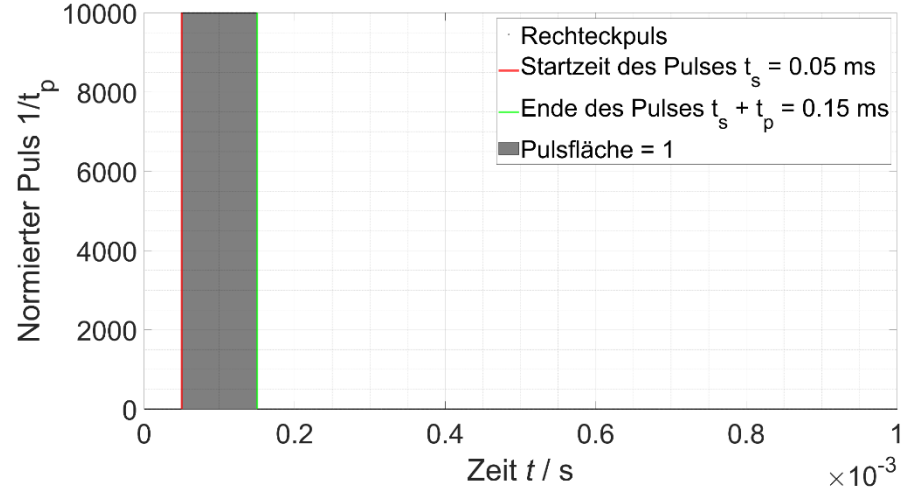
Diskrete Faltung im Frequenzraum



Kontinuierliche Faltung im Realraum

$$P_{\square}(t) = \begin{cases} P_{\square} & \text{for } t_s \leq t \leq t_s + t_p \\ 0 & \text{for } (t_p + t_s) < t, t < t_s \end{cases}$$

$$Q = \int_{t_s}^{t_s+t_p} P(t) dt = P_{\square} \cdot t_p := 1 J$$
$$\rightarrow P_{\square} = \frac{1}{t_p} \frac{J}{s}$$



Kontinuierliche Faltung im Realraum

$$\Delta T_P = \int_0^{\infty} P(t') \cdot \Delta T(t - t') dt' = \int_{t_s}^{t_s+t_p} P(t') \cdot \Delta T(t - t') dt'$$

$$\Delta T_{f,P_{\Pi}} = \Delta T_{\infty} \cdot \left[1 + \frac{2}{t_p} \cdot \sum_{n=1}^{\infty} \frac{l^2}{\alpha n^2 \pi^2} \cdot \exp\left(-\frac{\alpha n^2 \pi^2 t}{d^2}\right) \cdot \left[\exp\left(\frac{\alpha n^2 \pi^2 t_s}{d^2}\right) \cdot \left(\exp\left(\frac{\alpha n^2 \pi^2 t_p}{d^2}\right) - 1 \right) \right] \right]$$

Kontinuierliche Faltung im Realraum

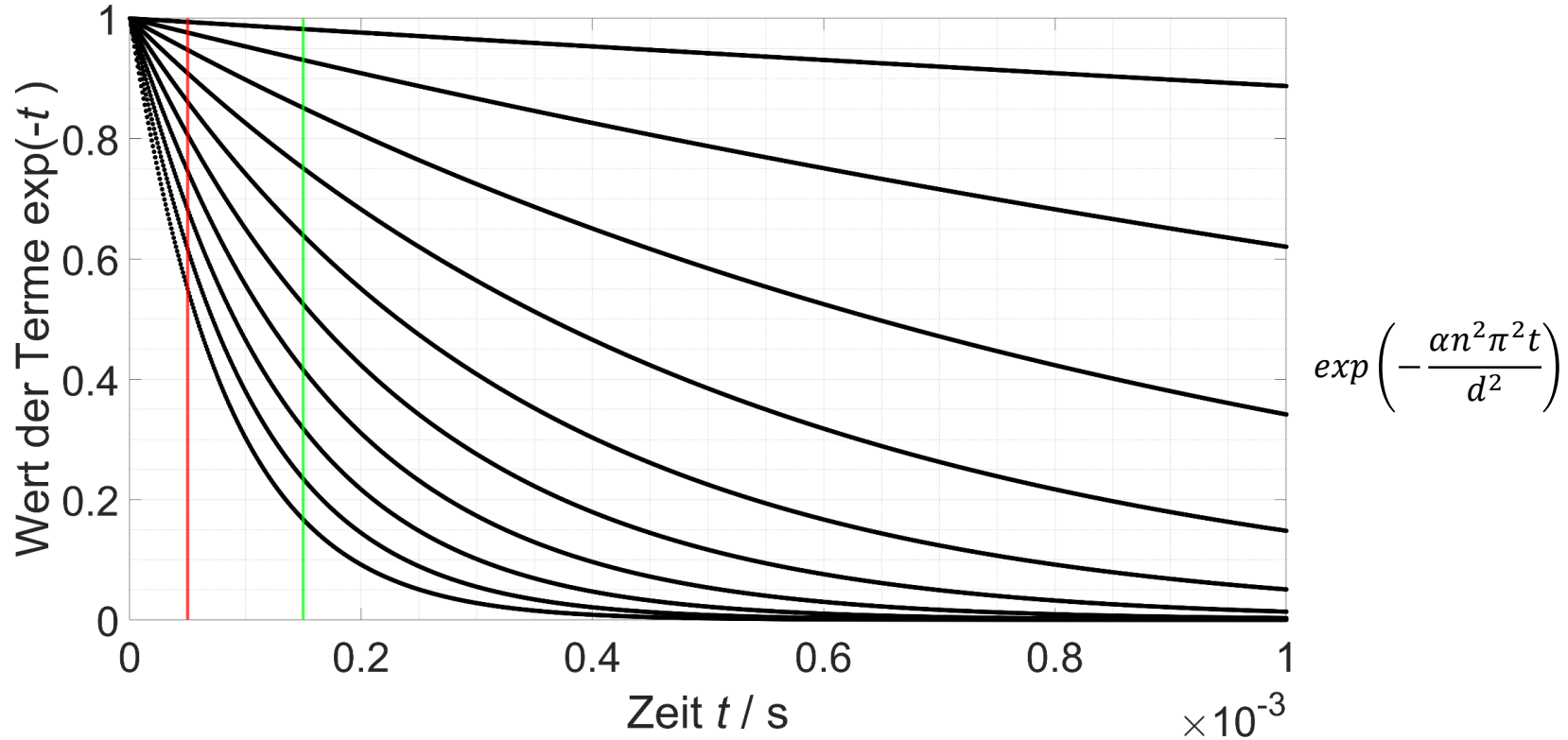
Fallunterscheidung zur Berücksichtigung des Pulseffekts

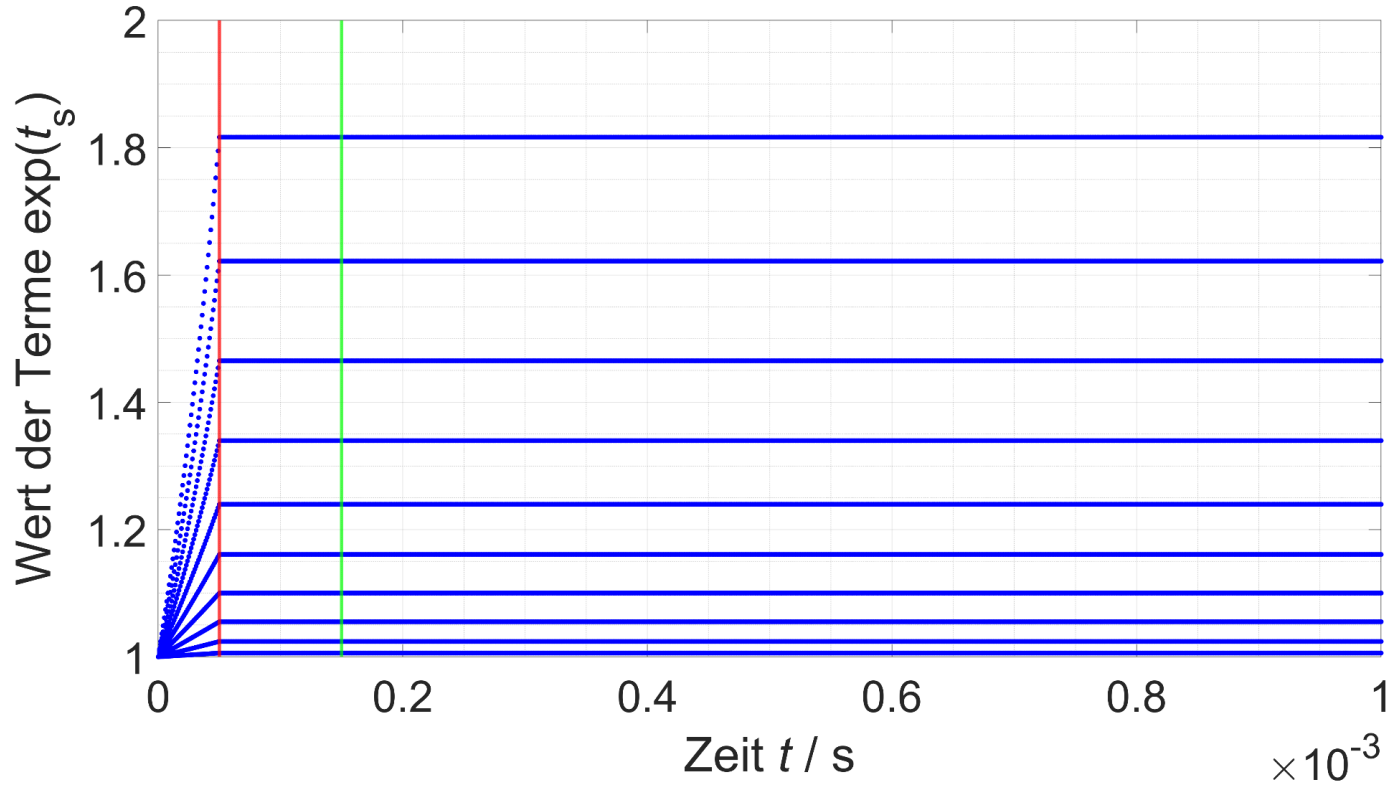
$$t < t_s: \Delta T_{f,P_{\square}} = \Delta T_{\infty} \cdot \left[1 + \frac{2}{t_p} \cdot \sum_{n=1}^{\infty} \frac{l^2}{\alpha n^2 \pi^2} \cdot \exp\left(-\frac{\alpha n^2 \pi^2 t}{d^2}\right) \cdot \left[\exp\left(\frac{\alpha n^2 \pi^2 t}{d^2}\right) \cdot \left(\exp\left(\frac{\alpha n^2 \pi^2 0}{d^2}\right) - 1 \right) \right] \right] = \Delta T_{\infty}$$

$$t_s < t < t_s + t_p: \Delta T_{f,P_{\square}} = \Delta T_{\infty} \cdot \left[1 + \frac{2}{t_p} \cdot \sum_{n=1}^{\infty} \frac{l^2}{\alpha n^2 \pi^2} \cdot \exp\left(-\frac{\alpha n^2 \pi^2 t}{d^2}\right) \cdot \left[\exp\left(\frac{\alpha n^2 \pi^2 t_s}{d^2}\right) \cdot \left(\exp\left(\frac{\alpha n^2 \pi^2 t}{d^2}\right) - 1 \right) \right] \right]$$

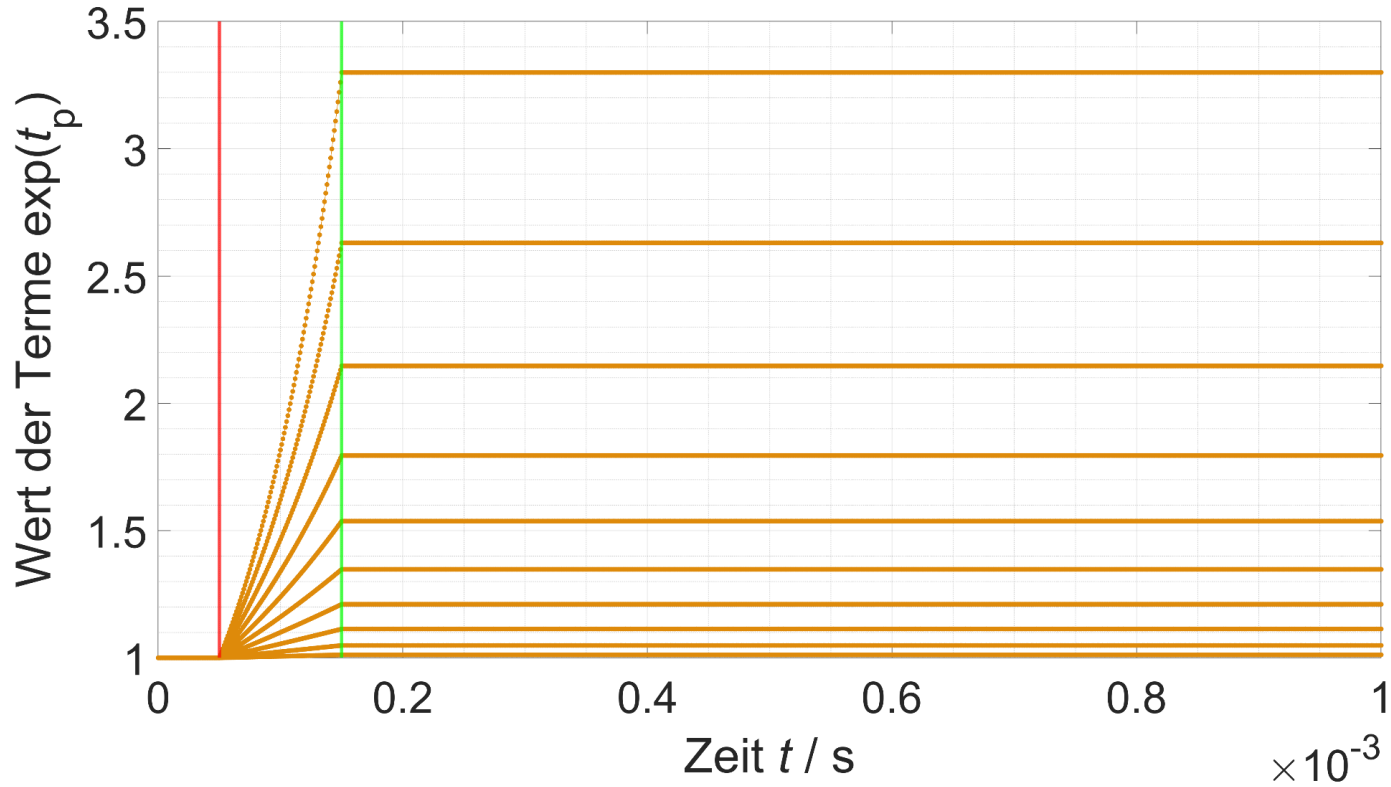
$$t > t_s + t_p: \Delta T_{f,P_{\square}} = \Delta T_{\infty} \cdot \left[1 + \frac{2}{t_p} \cdot \sum_{n=1}^{\infty} \frac{l^2}{\alpha n^2 \pi^2} \cdot \exp\left(-\frac{\alpha n^2 \pi^2 t}{d^2}\right) \cdot \left[\exp\left(\frac{\alpha n^2 \pi^2 t_s}{d^2}\right) \cdot \left(\exp\left(\frac{\alpha n^2 \pi^2 t_p}{d^2}\right) - 1 \right) \right] \right]$$

Kontinuierliche Faltung im Realraum



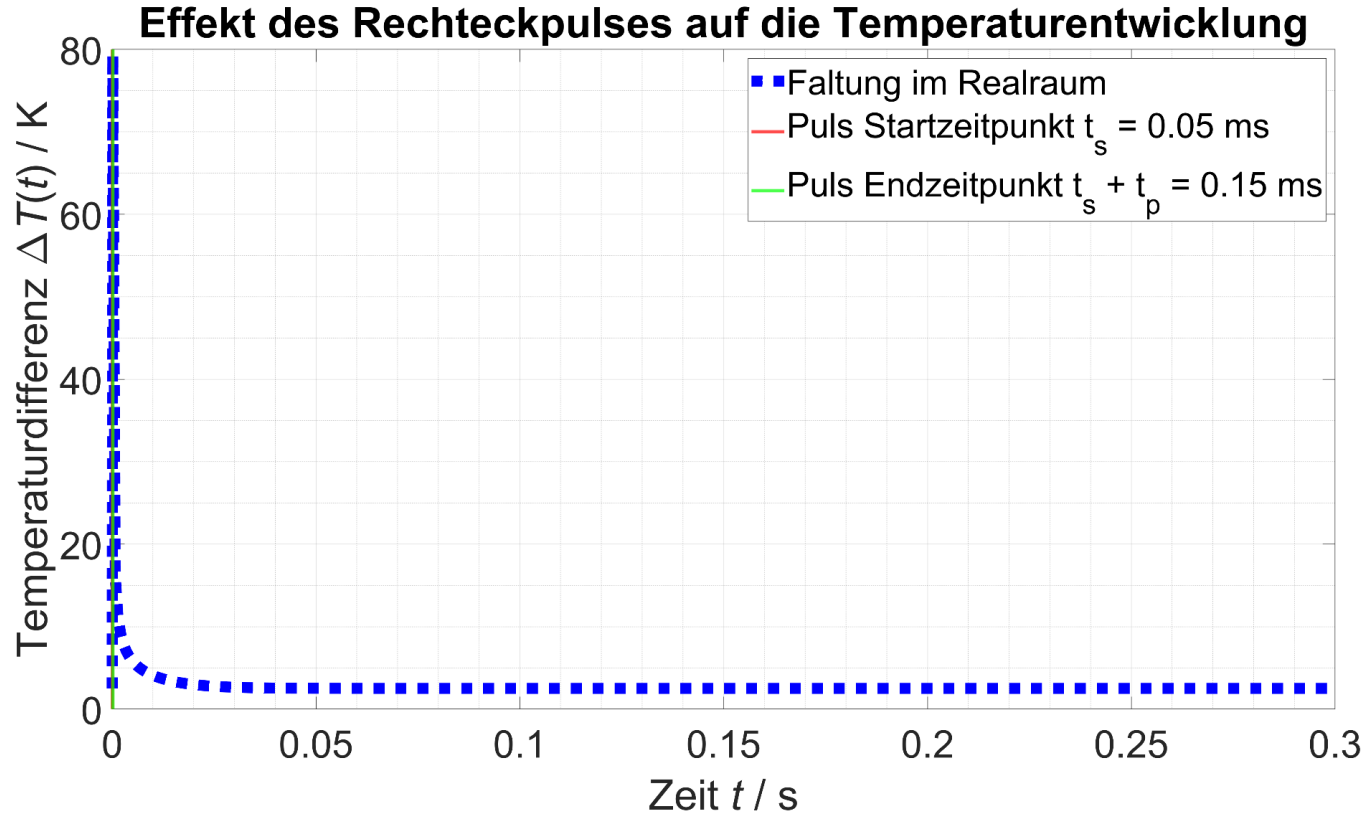


$$\exp\left(\frac{\alpha n^2 \pi^2 t_s}{d^2}\right)$$

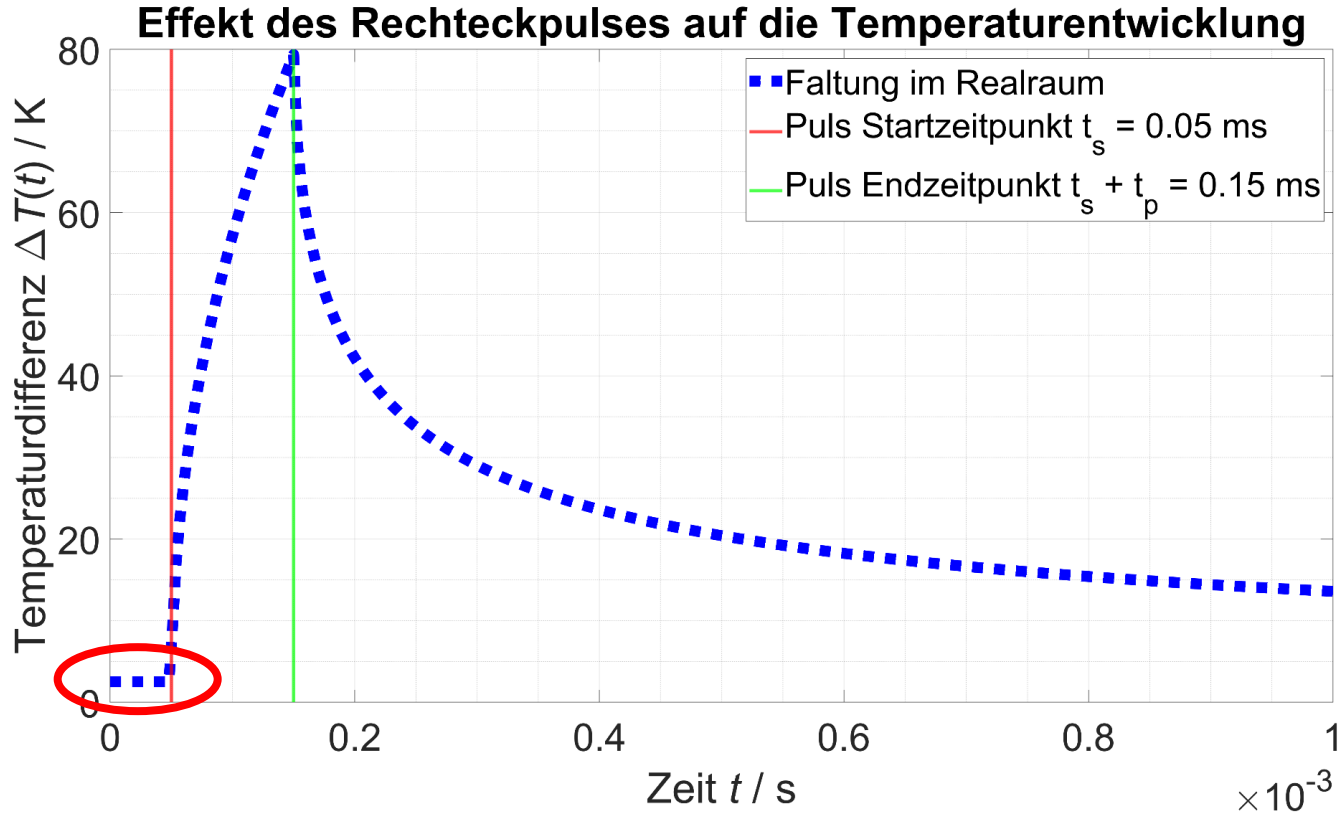


$$\exp\left(\frac{\alpha n^2 \pi^2 t_p}{d^2}\right)$$

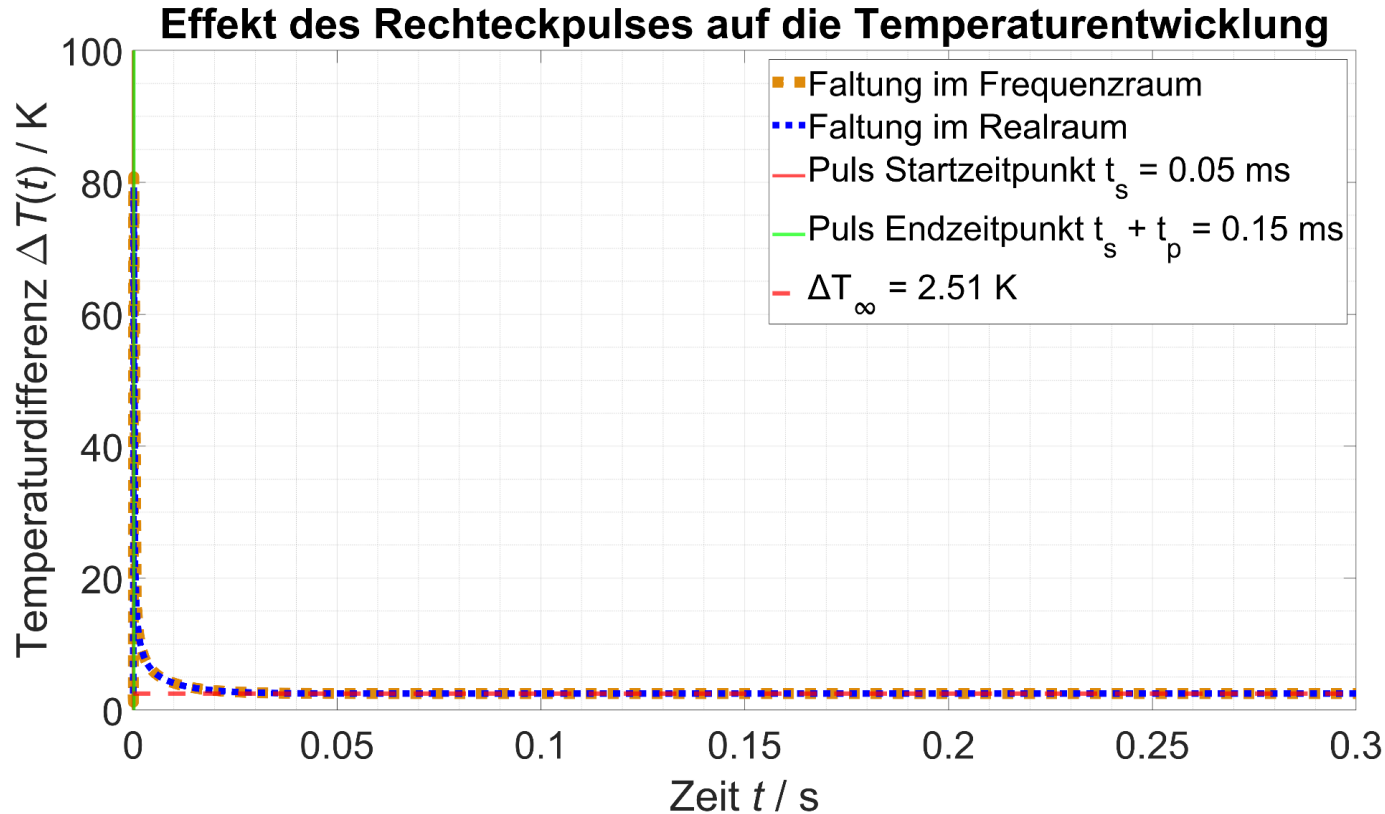
Kontinuierliche Faltung im Realraum



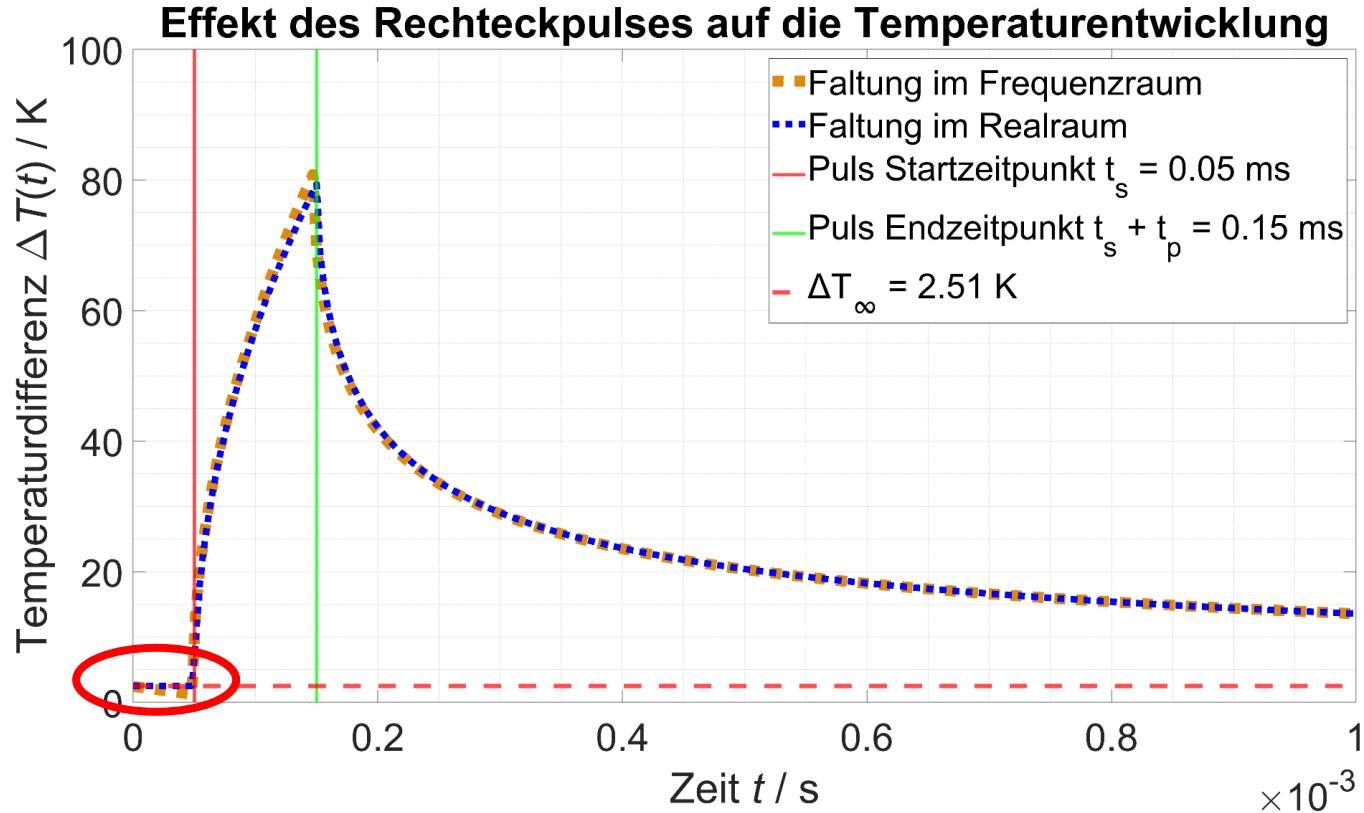
Kontinuierliche Faltung im Realraum



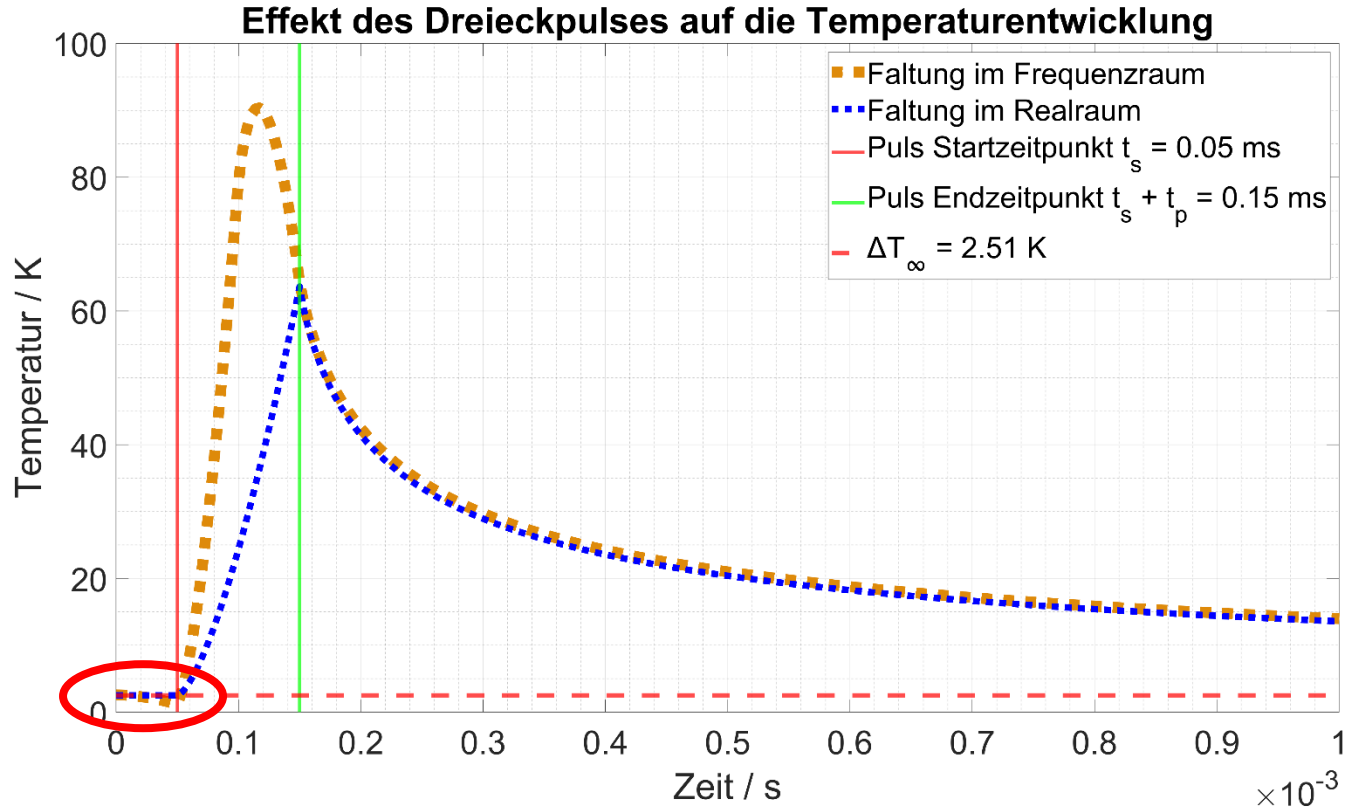
Vergleich der Lösungen



Vergleich der Lösungen



Vergleich der Lösungen



Fazit

- Modellierung im Frequenz- und Realraum zeigen sehr gute Übereinstimmung für Rechteckpuls
- Realistischere Betrachtung der Vorderseitentemperaturentwicklung durch Faltung mit endlichen Pulsen möglich
 - Kein Abfall der Vorderseitentemperatur von $T = \infty$
- Kurvenverlauf für $t < t_s$ aus Modellen erklärbar, aber nicht physikalisch
- Materialeigenschaften werden als konstant angenommen
- Notwendigkeit äquidistanter Datenpunkte für Fourierlösung

- TO-DO:
- Weitere Pulsformen müssen untersucht werden
 - Sägezahn, Gauss, Haifisch
- Messdatenerfassung um Modelle auf Anwendbarkeit zu testen



Vielen Dank für Ihre Aufmerksamkeit !

Amir Shandy, M. Eng
Technische Hochschule Würzburg-Schweinfurt
Institut Zero Carbon
Münzstraße 12, 97070 Würzburg

+49 931 3511-8247

amir.shandy@thws.de

www.thws.de